

<b>Zeitschrift:</b>	Cahiers d'archéologie romande
<b>Herausgeber:</b>	Bibliothèque Historique Vaudoise
<b>Band:</b>	135 (2012)
<b>Artikel:</b>	Les villages du Bronze ancien : architecture et mobilier
<b>Autor:</b>	Winiger, Ariane / Burri-Wyser, Elena / Andrey, Sylvie
<b>Rubrik:</b>	Planches 1 à 16
<b>DOI:</b>	<a href="https://doi.org/10.5169/seals-835680">https://doi.org/10.5169/seals-835680</a>

### **Nutzungsbedingungen**

Die ETH-Bibliothek ist die Anbieterin der digitalisierten Zeitschriften auf E-Periodica. Sie besitzt keine Urheberrechte an den Zeitschriften und ist nicht verantwortlich für deren Inhalte. Die Rechte liegen in der Regel bei den Herausgebern beziehungsweise den externen Rechteinhabern. Das Veröffentlichen von Bildern in Print- und Online-Publikationen sowie auf Social Media-Kanälen oder Webseiten ist nur mit vorheriger Genehmigung der Rechteinhaber erlaubt. [Mehr erfahren](#)

### **Conditions d'utilisation**

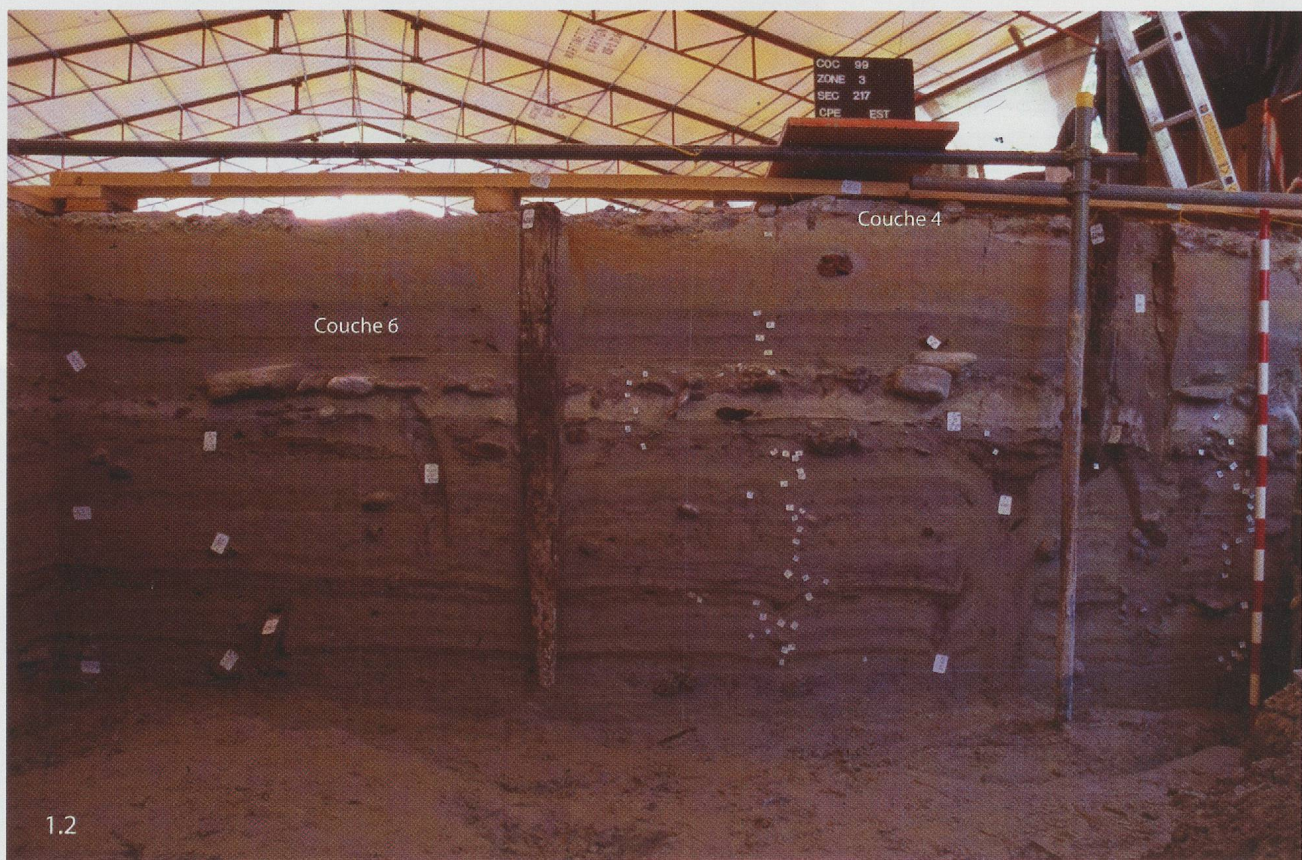
L'ETH Library est le fournisseur des revues numérisées. Elle ne détient aucun droit d'auteur sur les revues et n'est pas responsable de leur contenu. En règle générale, les droits sont détenus par les éditeurs ou les détenteurs de droits externes. La reproduction d'images dans des publications imprimées ou en ligne ainsi que sur des canaux de médias sociaux ou des sites web n'est autorisée qu'avec l'accord préalable des détenteurs des droits. [En savoir plus](#)

### **Terms of use**

The ETH Library is the provider of the digitised journals. It does not own any copyrights to the journals and is not responsible for their content. The rights usually lie with the publishers or the external rights holders. Publishing images in print and online publications, as well as on social media channels or websites, is only permitted with the prior consent of the rights holders. [Find out more](#)

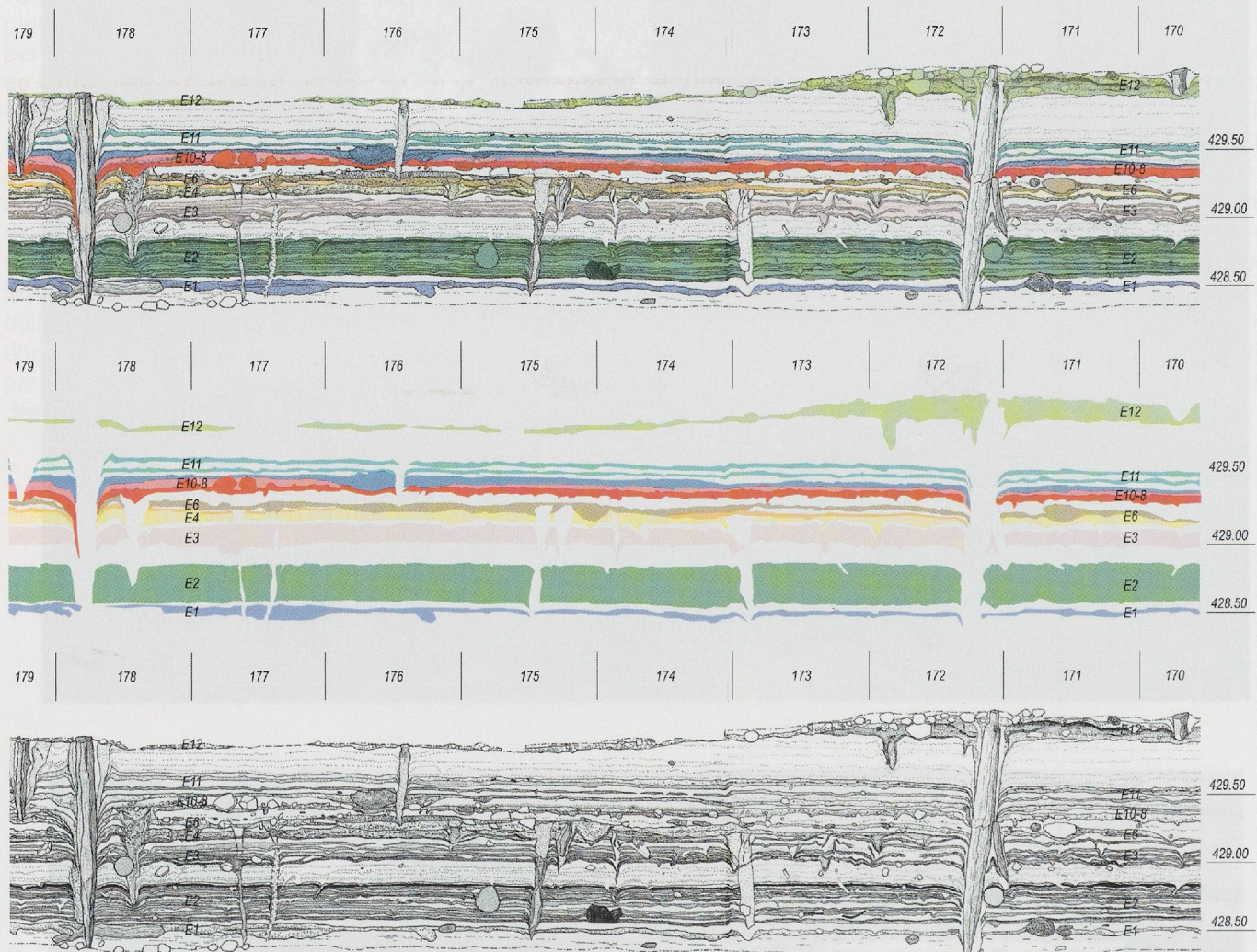
**Download PDF:** 17.02.2026

**ETH-Bibliothek Zürich, E-Periodica, <https://www.e-periodica.ch>**



**Planche 1.1.** Coupe sud du secteur 213 avec en arrière plan la porte qui permet de sortir du caisson de palplanches de la zone 3. La couche organique (4) de l'ensemble E12 est conservée en haut de la séquence. Elle est séparée de la couche d'incendie du premier village Bronze ancien E11 (couche 6) par une vingtaine de centimètres de sable gris.

**Planche 1.2.** Coupe est du secteur 217. La couche organique (4) de l'ensemble E12 est conservée en haut de la séquence. Elle est séparée de la couche d'incendie du premier village Bronze ancien E11 (couche 6) par un paquet de 20 à 30 cm de sable jaune orange puis gris dans sa partie inférieure. Les filets organiques du Néolithique final nappent les grosses pierres d'une structure ; ils sont situés juste au dessus de la craie blanche. Les occupations du Néolithique moyen visibles sous la craie correspondent à une alternance de filets plus ou moins organiques et plus ou moins sableux. Au centre, le pilotis COC6221 est un chêne abattu en 1624 av. J.-C. utilisé dans la façade la maison M4A.



2.1

Planche 2.1. Coupes nord des secteurs 215 et 216 (éch. 1 : 50). A l'est, le dôme de la première plage a permis la conservation du paquet organique de la couche 4 correspondant au deuxième village Bronze ancien (ensemble E12, mètres 170 à 172).

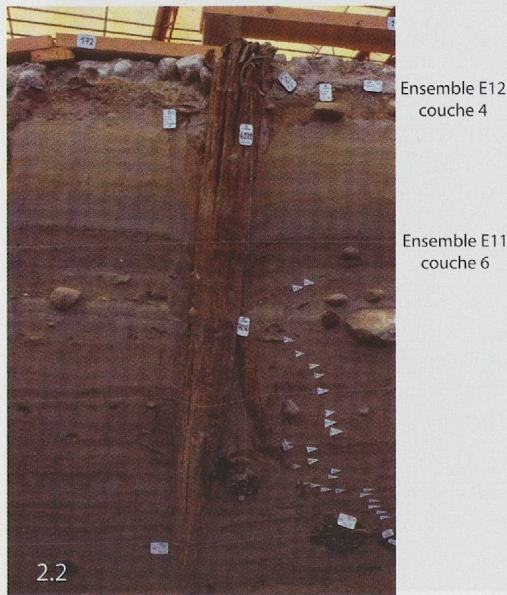
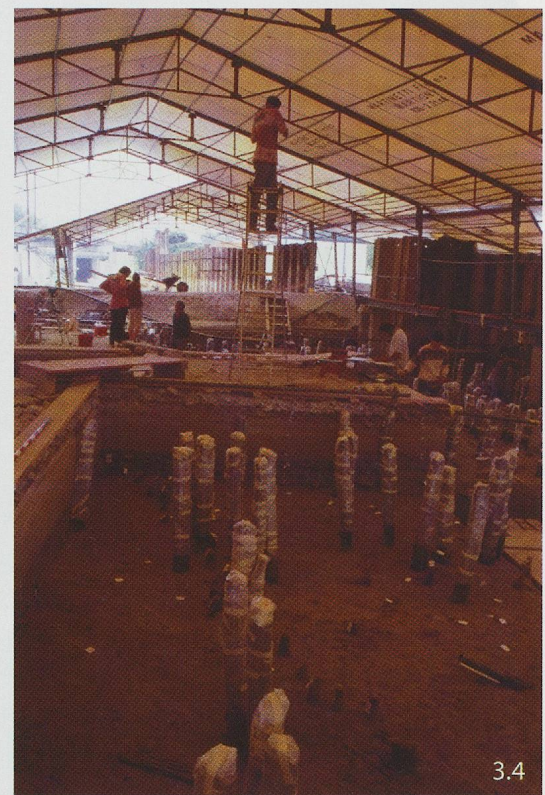


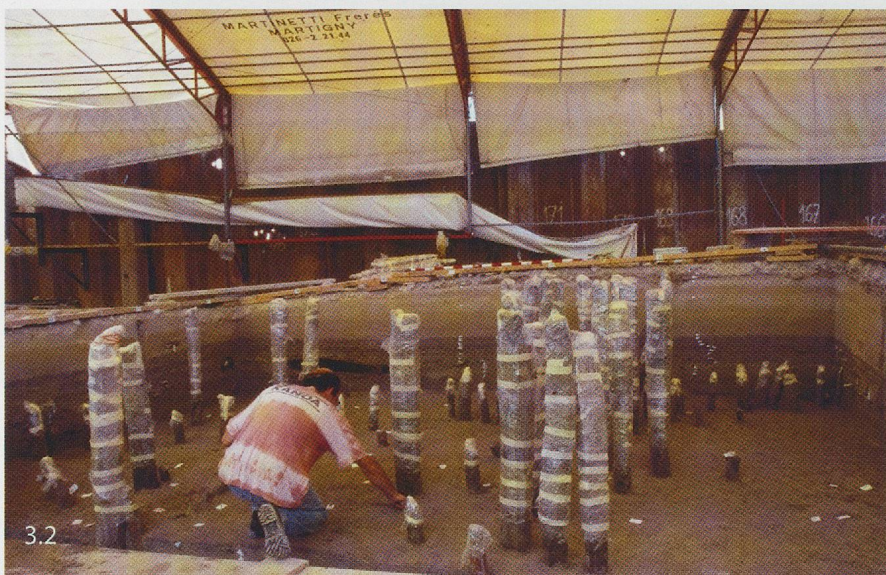
Planche 2.2. Détail photographique de la même coupe de terrain, aux abords du pilotis 6181, en limite des mètres 171 et 172.



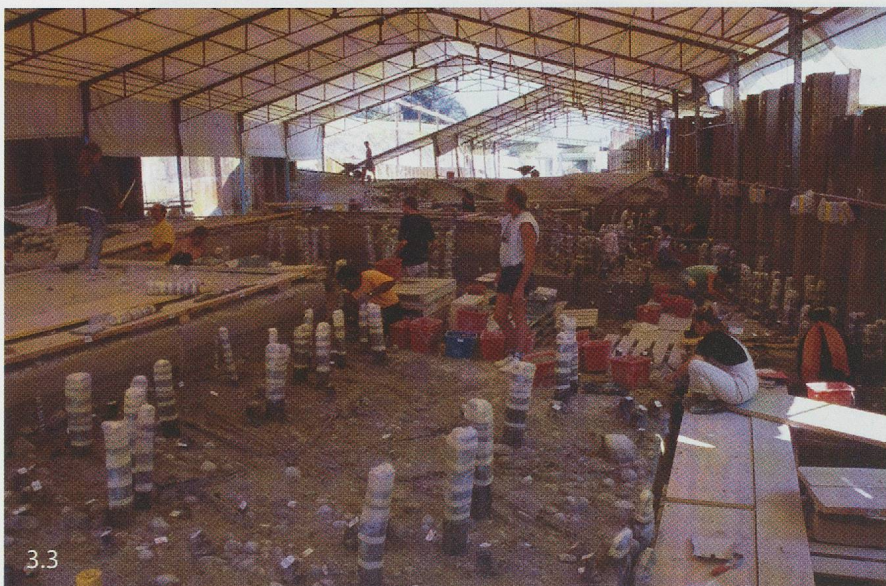
3.1



3.4



3.2



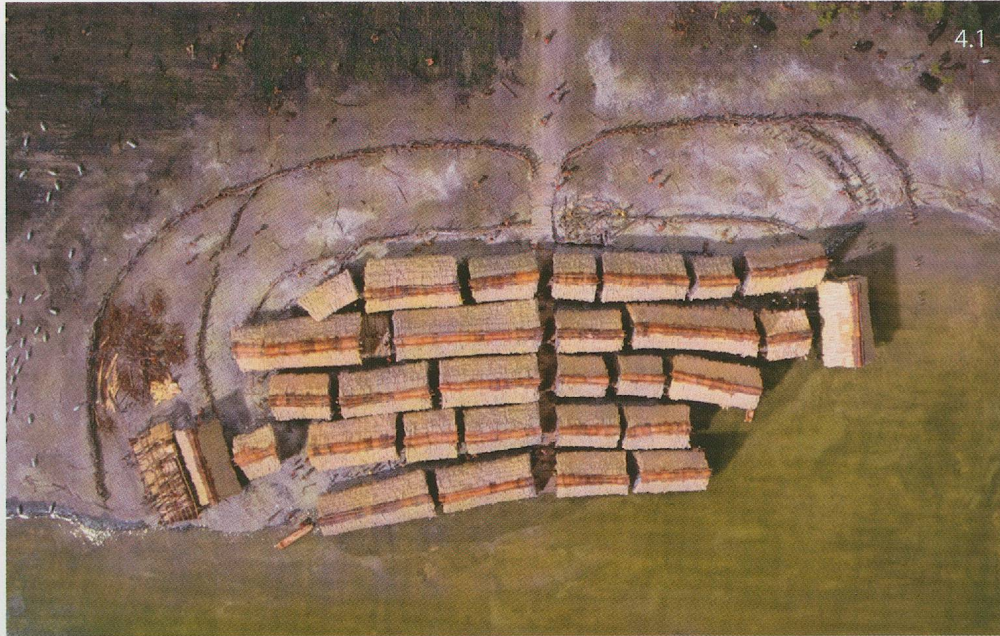
3.3

**Planche 3.1.** Caisson principal de la zone 3 en septembre 1999, vue prise depuis le canal de la station d'épuration en direction d'Yverdon. Le secteur 196, au centre, est laissé pour permettre la circulation et l'évacuation des sédiments. Au premier plan, le secteur 195 avec ses alignements de pilotis du deuxième village Bronze ancien.

**Planche 3.2.** Secteur 197, vue en direction du nord, un archéologue perdu au milieu de la forêt des pilotis du chemin d'accès 22.

**Planche 3.3.** Secteur 216, les alignements des pieux des maisons du village E12 sont particulièrement évidents.

**Planche 3.4.** Secteur 197, vue en direction de l'ouest ; les alignements de pieux des maisons et du chemin d'accès sont perpendiculaires.



**Planche 4.1.** Vue aérienne de la maquette du village Bronze ancien de l'ensemble E12 à son apogée, en 1635 av. J.-C.

Maquette H. Lienhard, photo Fibbi-Aeppli. © MCAH.



**Planche 4.2.** Vue plongeante, prise depuis l'angle nord-ouest, de la maquette du village Bronze ancien. En bas à droite, la maison M8 est en cours de construction ; au premier plan, des moutons paissent à l'extérieur des palissades externes. Maquette H. Lienhard, photo Fibbi-Aeppli. © MCAH.



**Planche 4.3.** Vue plongeante, prise depuis le lac. Au premier plan l'angle sud-est du village avec la maison M18, construite en 1637 av. J.-C., qui est orientée perpendiculairement à la berge.

Maquette H. Lienhard, photo Fibbi-Aeppli. © MCAH.



Planche 5.1. Le quartier ouest du village avec la maison M8 en cours de construction et les palissades successives, construites côté terre. Maquette H. Lienhard, photo Fibbi-Aeppli. © MCAH.

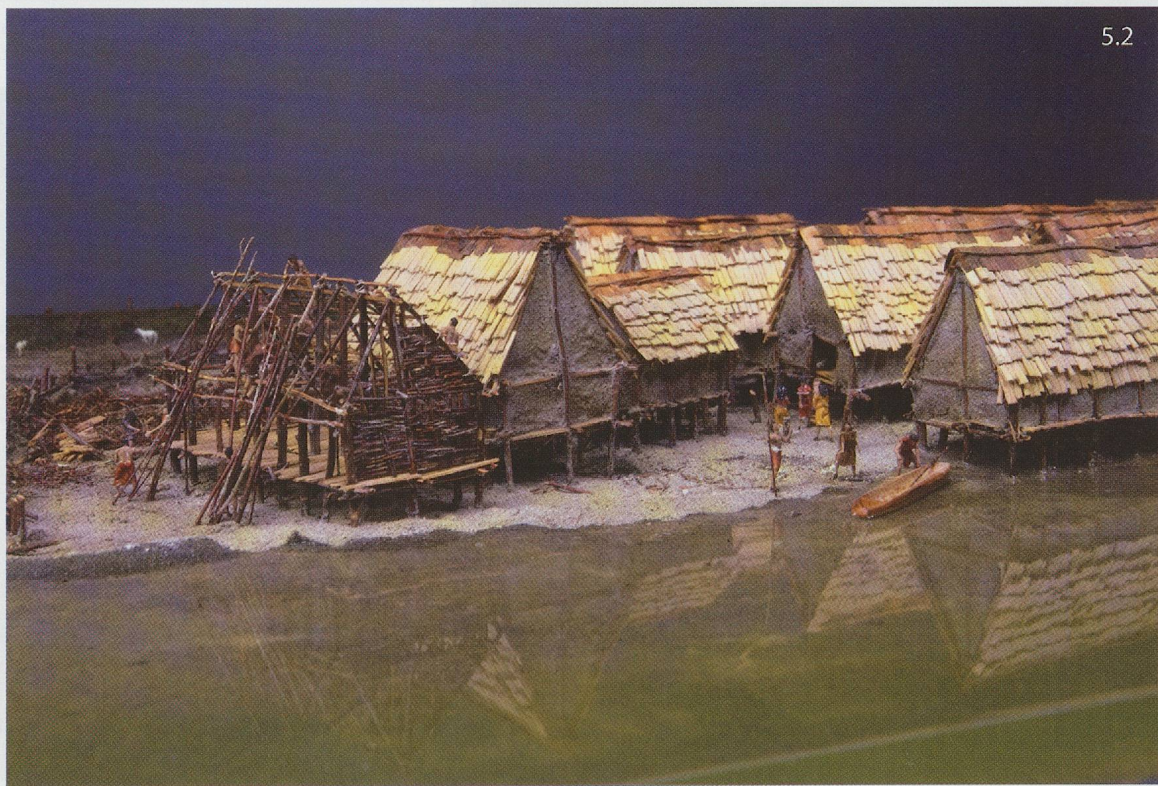


Planche 5.2. Le même secteur du village, en vue rasante depuis le lac. Les nouvelles maisons M7 et M8 sont les dernières à être construites dans cette partie du village, en 1636 et 1635 av. J.-C. Maquette H. Lienhard, photo Fibbi-Aeppli. © MCAH.



**Planche 6.1.** L'entrée du village au nord se fait par un passage aménagé entre les palissades ; un pont rectiligne conduit aux maisons situées de part et d'autre de l'accès.

Maquette H. Lienhard, photo Fibbi-Aeppli. © MCAH.



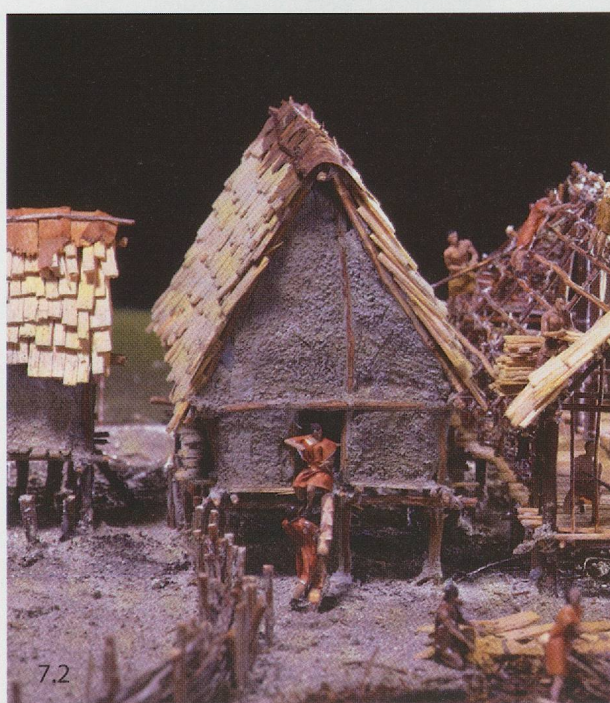
**Planche 6.2.** Le quartier est et ses maisons « les pieds dans l'eau » donne une image faussement idyllique des conditions d'établissement en bordure de lac.

Maquette H. Lienhard, photo Fibbi-Aeppli. © MCAH.

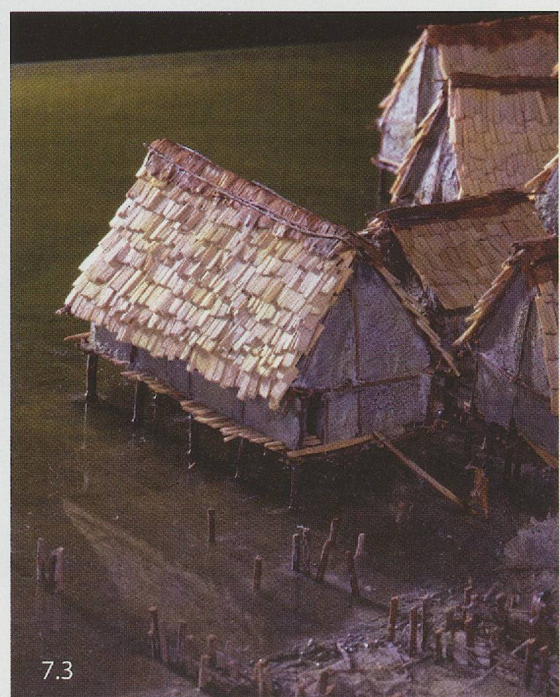


7.1

Planche 7.1. Le quartier ouest avec les dernières maisons (M7 et M8) construites perpendiculairement à la rive : elles ne respectent plus le strict alignement du noyau villageois, où les bâtiments sont orientés est-ouest parallèlement à la rive, dans l'axe des vents dominants.



7.2



7.3

Planche 7.2. Détail de l'entrée nord de la maison M7. Maquette H. Lienhard, photo Fibbi-Aeppli. © MCAH.

Planche 7.3. La maison M18, construite en 1637 av. J.-C. à l'autre extrémité du village, présente, elle aussi, une orientation singulière par rapport au reste des bâtiments. Maquette H. Lienhard, photo Fibbi-Aeppli. © MCAH.



**Planche 8.1.** Céramiques de l'ensemble E11. Hauteur de la grande jarre (2054) à droite : 47.5 cm ; jarre bicolore (2005) à gauche ; gobelet biconique (2058) en bas à droite et bol à anse caréné (2056) à gauche. Photo Fibbi-Aepli © MCAH.

**Planche 8.2.** Céramiques de l'ensemble E11. Hauteur du gobelet biconique (2034) en bas à droite : 12.5 cm ; pot globulaire (2023) en haut à gauche ; jarre en S (2022) en haut à droite ; bol à épaule marquée (2026) au milieu ; bol à anse (2033) à gauche ; bol à anse caréné déformé par le feu (2012) en bas, au premier plan, à gauche. Photo Fibbi-Aepli © MCAH.



**Planche 9.1.** Céramiques de l'ensemble E12. Hauteur du bord de jarre bicolore (2138) en bas à gauche 15.2 cm ; sur la ligne du haut : bord de pot en U (2088) au centre sur la gauche ; bord de jarre globulaire ouverte (2123) au centre sur la droite ; cruche décorée (2141) à droite ; sur la ligne du haut partie supérieure de jarre à col court (2115) à gauche ; jarre en S (2099) au milieu et jarre en S (2127) à droite. Photo Fibbi-Aeppli © MCAH.

**Planche 9.2.** Céramiques de l'ensemble E12. Hauteur du bol impressionné (2128) en haut à droite : 8.2 cm ; sur la ligne du haut : pot à épaulement et décor de triangles incisé (2116) puis bol à panneaux incisés (2146) et bol à anse et fond pointu (2089) ; sur la ligne du bas de gauche à droite : bol en V (2129), tasses roseaux (2111, 2172 et 2174). Photo Fibbi-Aeppli © MCAH.



10.1

Planche 10.1. Fragment de tuyère (?) de l'ensemble E12 (ZT156.3), hauteur conservée : 7.2 cm.



10.2

Planche 10.2. Fragment du couvercle de l'ensemble E12 (2103), diamètre : 11.2 cm.



10.3

Planche 10.3. Secteur 34 décapage 2 : céramiques presque entières conservées en surface de la plage d'installation de la couche 6, attribuées au premier village Bronze ancien de l'ensemble E11.

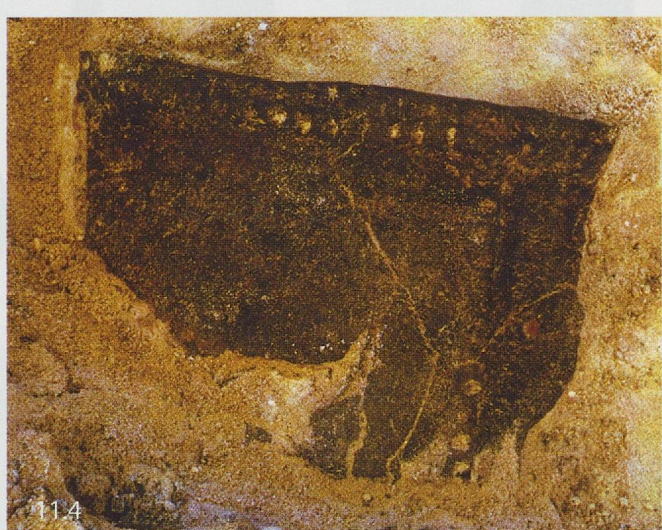


Planche 11. Céramiques *in situ* du premier village Bronze ancien de l'ensemble E11 : secteur 166 décapage 5 (1) ; secteur 189 décapage 2-3 (2), gobelet biconique (2038) ; secteur 189 décapage 2-3 (3), pot en S à pied étroit ; secteur 190 décapage 4-5 (5) bol à anse (2056). Céramique *in situ* du second village Bronze ancien de l'ensemble E12 (4), jarre globulaire à cordons perpendiculaires simples (2149).



COC96 1396

12.1



ZL190.1

12.2



ZL168.13



12.3



ZL157.2

12.4



ZL157.2

12.5



12.6

Planches 12.1 à 5. Matériel métallique. Ensemble E11 : (1) hache de type Lucerne avec les restes d'emmanchement en érable (éch 1 : 2). Ensemble E12 : (2) poignard à lame cintrée et 4 rivets ; (3) hache corrodée de type Onnens ; (4) seconde hache de type Onnens (éch 1 : 2). La même in situ dans la couche 6. Planche 12. 6. Les objets en métal de l'ensemble E12 avec en plus une épingle à tête enroulée trouvée dans les couches de remblais, qui appartient sans doute à l'occupation du Bronze final. Longueur du poignard à gauche : 14.5 cm. Photo Fibbi-Aeppli © MCAH.



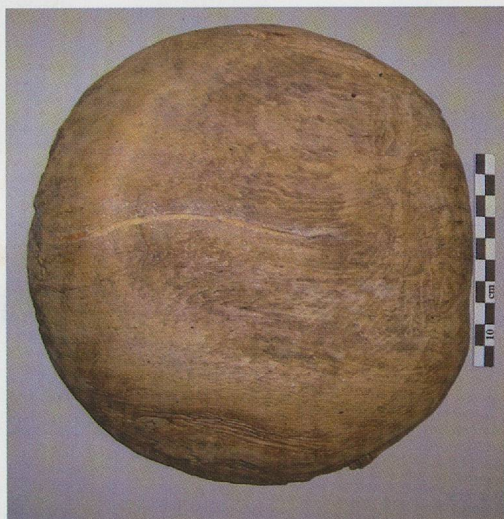
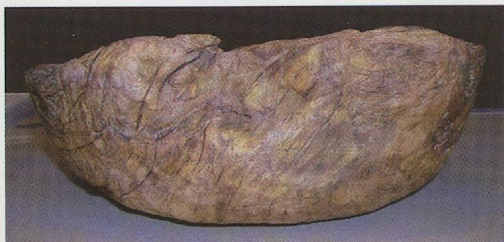
13.1



13.2

Planche 13.1. Les pointes de flèches de l'Ensemble E11. Photo Fibbi-Aeppli © MCAH.

Planche 13.2. A gauche, la pendeloque de l'ensemble E12, au milieu les quatre fusaïoles en grès de l'ensemble E12 et à droite les deux de l'ensemble E11. Photo Fibbi-Aeppli © MCAH.



Planches 14.1 à 4. Artefacts organiques. Ensemble E11 : (1) bol réalisé sur une loupe de frêne, (2) plat brûlé façonné sur une planche en frêne. Ensemble E12 : (3) fragment d'un lien en liber et (4) peigne à décor gravé en buis.



Planche 15. Ensemble E11. Trace de dent de carnivore sur un axis de petit ruminant (1). Brûlure partielle sur une phalange proximale (2 et 3), une côte (4) et un naviculocuboïde (5) de bœuf. Trace d'érosion sur une diaphyse de tibia de petit ruminant (6). Stries de découpe sur une vertèbre coccigienne (7), une première vertèbre sacrale (8) et un métapode (9) de bœuf. Pathologies visibles sur un métacarpien (10 et 11) et deux phalanges (12) de bœuf. Plusieurs enlèvements présents sur la diaphyse d'un fémur de bœuf (13). Encoche anormale observée au niveau du collet d'une incisive de bœuf (14). Usure anormale reconnue sur une incisive de bœuf (15) et une prémolaire supérieure de capriné (16). Marques de stress se développant de façon bilatérale sur des molaires supérieures de capriné (17).



**Planche 16.** Ensemble E11. Traces de découpe sur un atlas (1) et une scapula (2) de suidé. Pathologies observées sur une vertèbre cervicale (3), une molaire (4) et une mandibule (5 à 8) de suidé. Désarticulation de la tête (9) chez un chien. Chez la même espèce, anomalie bilatérale observée sur les deux humérus (10). Sur le cliché, les deux spécimens de gauche proviennent de la collection de comparaison du Département d'Archéozoologie du Muséum de Genève.